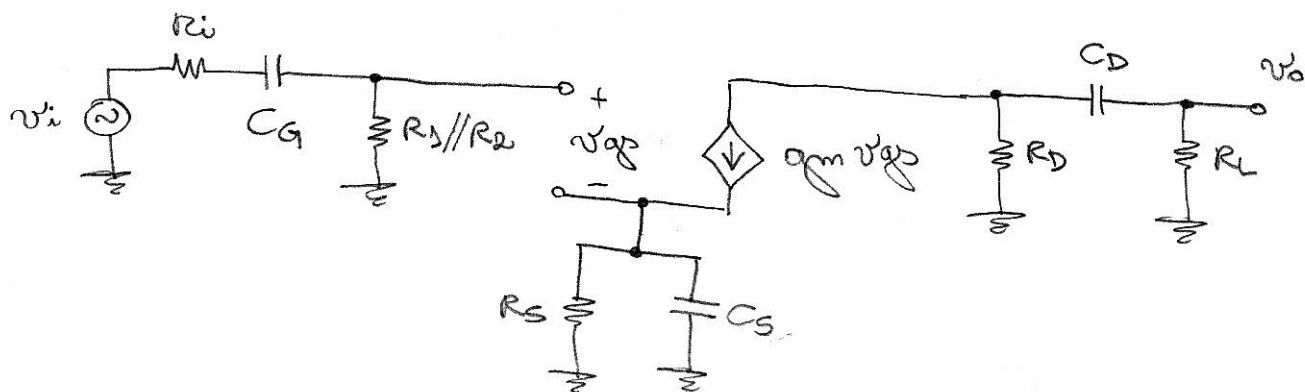


4) Circuito de frequências baixas para a resposta de baixas frequências:



Constantes de tempo de curto-circuito:

$$C_G \rightarrow \frac{1}{C_G \cdot (R_i + R_1 // R_2)}$$

$$C_C \rightarrow \frac{1}{C_C (R_D + R_L)}$$

$$C_S \rightarrow \frac{1}{C_S \cdot (R_E // 1/g_m)}$$

Análise do circuito no domínio da frequência:

$$v_{be} = \frac{R_1 // R_2}{R_i + \frac{1}{j\omega C_G} + R_1 // R_2} \cdot v_i - g_m v_{be} \cdot \frac{1}{\frac{1}{R_E} + j\omega C_S}$$

$$v_{be} \left( \Delta + \frac{g_m R_E}{j\omega C_S R_E + \Delta} \right) = \frac{j\omega C_G \cdot R_1 // R_2}{j\omega C_G (R_i + R_1 // R_2) + \Delta} \cdot v_i$$

$$v_{be} = \frac{j\omega C_S R_E + \Delta}{j\omega C_S R_E + (\Delta + g_m R_E)} \cdot \frac{j\omega C_G \cdot R_1 // R_2}{j\omega C_G (R_i + R_1 // R_2) + \Delta} \cdot v_i$$

Assim:

$$v_o = - g_m v_{be} \cdot \frac{R_D}{R_D + R_L + \frac{1}{j\omega C_D}} \cdot R_L$$

$$v_o = -g_m v_{gs} \cdot \frac{R_D R_L}{(R_D + R_L) + \frac{1}{sC_D}}$$

$$v_o = -g_m v_{gs} \cdot \frac{\frac{R_D R_L}{R_D + R_L} s}{s + \frac{1}{C_D (R_D + R_L)}}$$

$$v_o = - \frac{g_m R_D // R_L s}{\left( s + \frac{1}{C_D (R_D + R_L)} \right)} \cdot v_{gs}$$

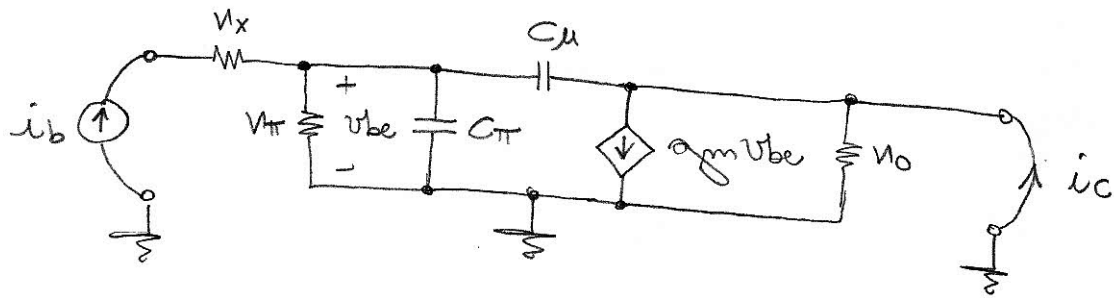
$$v_o = - \frac{g_m R_D // R_L s}{\left( s + \frac{1}{C_D (R_D + R_L)} \right)} \cdot \frac{s C_S R_S + \Delta}{s C_S R_S + (\Delta + g_m R_S)} \cdot \frac{s C_G \cdot R_D // R_S}{s C_G (R_i + R_D // R_S) + \Delta} \cdot v_i$$

Portanto:

$$\frac{v_o}{v_i} = - \frac{g_m R_D // R_L s}{\left( s + \frac{1}{C_D (R_D + R_L)} \right)} \cdot \frac{\left( s + \frac{1}{C_S R_S} \right)}{\left( s + \frac{\Delta + g_m R_S}{C_S R_S} \right)} \cdot \frac{s \frac{R_D // R_S}{R_i + R_D // R_S}}{\left( s + \frac{1}{C_G (R_i + R_D // R_S)} \right)}$$

$$\frac{v_o}{v_i} = - \left( g_m R_D // R_L \cdot \frac{R_D // R_S}{R_i + R_D // R_S} \right) \cdot \frac{s}{\left( s + \frac{1}{C_D (R_D + R_L)} \right)} \cdot \frac{\left( s + \frac{1}{C_S R_S} \right)}{s} \cdot \frac{s}{\left( s + \frac{1}{C_G (R_i + R_D // R_S)} \right)}$$

Note que os polos acima correspondem exatamente os inversos das constantes de tempo de curto-circuito.



Eq. nodal da base:

$$-i_b + \frac{v_{be}}{V_T} + v_{be} \cdot \omega C_{\pi} + v_{be} \cdot \omega C_{\mu} = 0$$

$$v_{be} \left( \frac{1}{V_T} + \omega (C_{\pi} + C_{\mu}) \right) = i_b$$

$$v_{be} = \frac{V_T}{\omega V_T (C_{\pi} + C_{\mu}) + 1} \cdot i_b$$

Corrente do coletor:

$$i_c = g_m v_{be} - \omega C_{\mu} v_{be}$$

$$i_c = (g_m - \omega C_{\mu}) v_{be}$$

$$i_c = \frac{V_T (g_m - \omega C_{\mu})}{\omega V_T (C_{\pi} + C_{\mu}) + 1} \cdot i_b$$

$$\frac{i_c}{i_b} = V_T g_m \cdot \frac{1 - \omega \frac{C_{\mu}}{g_m}}{\omega V_T (C_{\pi} + C_{\mu}) + 1}$$

$$\frac{i_c}{i_b} = \beta \cdot \frac{1 - \omega \frac{C_{\mu}}{g_m}}{\omega V_T (C_{\pi} + C_{\mu}) + 1}$$

*[Handwritten signature]*

A frequência de transição:

$$\left| \frac{i_c(j\omega_T)}{i_b} \right| = \beta \left| \frac{1 - j\omega_T \frac{C_{\mu}}{g_m}}{j\omega_T V_T (C_{\pi} + C_{\mu}) + 1} \right| = 1$$

$$\beta^2 \cdot \frac{\Delta + \omega_T^2 \frac{C_{\mu}^2}{g_m^2}}{\omega_T^2 (C_{\pi} + C_{\mu})^2 V_{T}^2 + \Delta} = \Delta$$

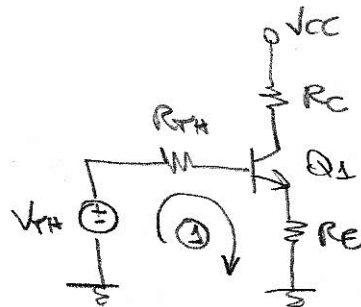
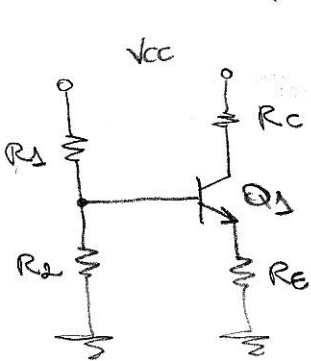
$$\beta^2 + \omega_T^2 \frac{\beta^2 C_{\mu}^2}{g_m^2} = \omega_T^2 (C_{\pi} + C_{\mu})^2 V_{T}^2 + \Delta$$

$$\omega_T^2 = \frac{\beta^2 - \Delta}{V_{T}^2 (C_{\pi} + C_{\mu})^2 - \frac{\beta^2 C_{\mu}^2}{g_m^2}}$$

$$\omega_T = 1,0465 \cdot 10^9 \text{ rad/s}$$

$$f_T = \frac{\omega_T}{2\pi} = 163,7 \text{ MHz}$$

③ (a) Amplificadores com emissor comum - Polarização:



$$V_{TH} = \frac{R_2}{R_1 + R_2} \cdot V_{CC}$$

$$R_{TH} = R_1 // R_2$$

$$\textcircled{1}: V_{TH} - R_{TH} I_B - V_{BE} - R_E I_E = 0$$

$$V_{TH} - R_{TH} I_B - V_{BE} - R_E (\beta + 1) I_B = 0$$

$$I_B = \frac{V_{TH} - V_{BE}}{R_{TH} + R_E (\beta + 1)} = 19,1 \mu\text{A}$$

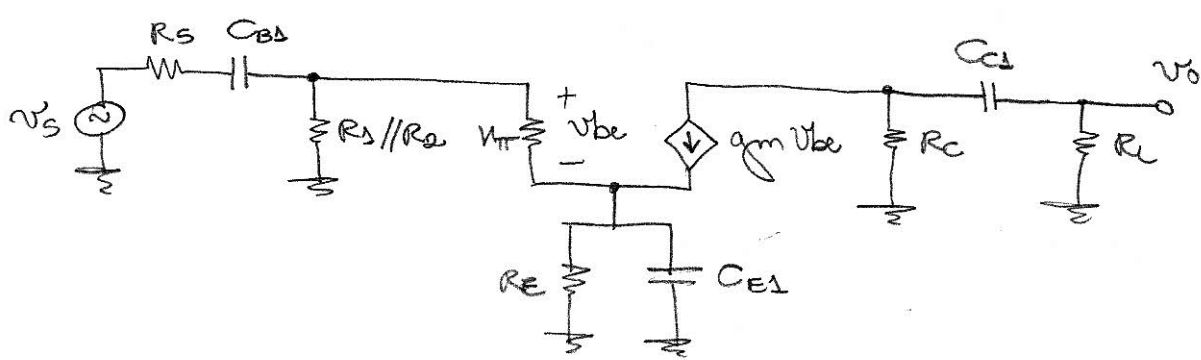
$$I_C = \beta I_B = 1,93 \text{ mA}$$

Assim, os parâmetros de freq. sinais serão dados por:

$$\begin{cases} g_m = \frac{I_C}{V_T} = 176,4 \text{ mA/V} \\ r_{\pi} = \frac{\beta}{g_m} = 1,3 \text{ k}\Omega \end{cases}$$

Como o circuito de polarização é o mesmo para ambos os amplificadores, os valores acima são válidos também para o amplificador com emissor degenerado.

O modelo de freq. sinais para baixas freq. do primeiro amplificador:



Constantes de tempo de curto-circuito:

$$C_{BS} \rightarrow \frac{1}{C_{BS} \cdot (R_S + R_1 // R_2 // V_{BE})}$$

$$C_{ES} \rightarrow \frac{1}{C_{ES} \left( R_E // \frac{V_{BE} + R_1 // R_2 // R_S}{\beta + 1} \right)}$$

$$C_{CS} \rightarrow \frac{1}{C_{CS} \cdot (R_C + R_L)}$$

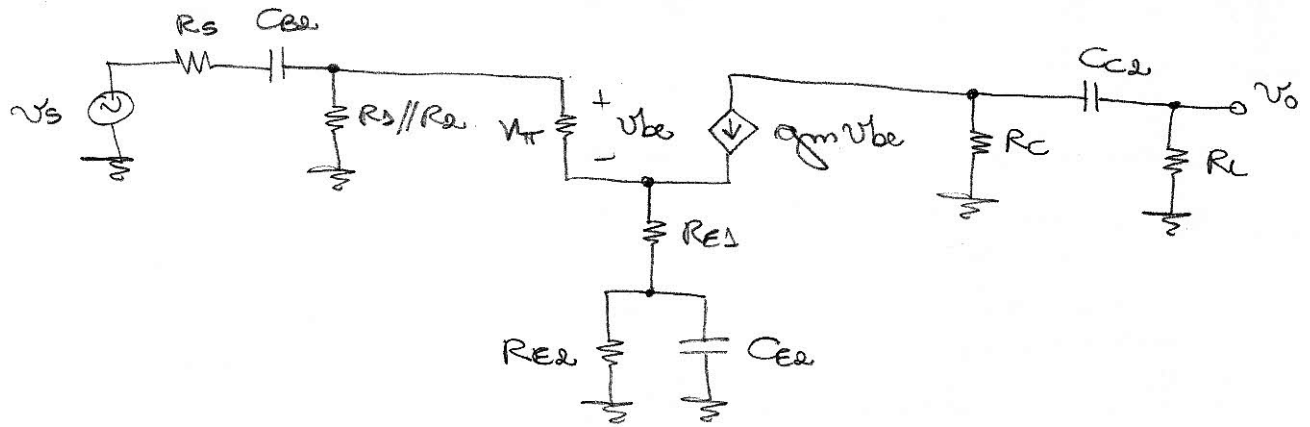
Projeto para um polo dominante em 100 Hz:

$$\frac{1}{C_{ES} \left( R_E // \frac{V_{BE} + R_1 // R_2 // R_S}{\beta + 1} \right)} = 2\pi \cdot 100 \quad \therefore C_{ES} = 93 \mu F$$

$$\frac{1}{C_{BS} \cdot (R_S + R_1 // R_2 // V_{BE})} = 2\pi \cdot 10 \quad \therefore C_{BS} = 10,2 \mu F$$

$$\frac{1}{C_{CS} (R_C + R_L)} = 2\pi \cdot 10 \quad \therefore C_{CS} = 1,4 \mu F$$

O modelo de freq. sinais para o amplificador com degeneração de emissor fica:



As constantes de tempo de curto-circuito ficam:

$$C_{C2} \rightarrow \frac{1}{C_{C2} (R_s + R_D // R_E // (V_T + (\beta + 1) R_{E1}))}$$

$$C_{E2} \rightarrow \frac{1}{C_{E2} \left( R_{E2} // \left( R_{E1} + \frac{V_T + R_D // R_E // R_s}{\beta + 1} \right) \right)}$$

$$C_{C2} \rightarrow \frac{1}{C_{C2} (R_C + R_L)}$$

Dimensionando os capacitores para uma frequência de corte dominante em 100 Hz:

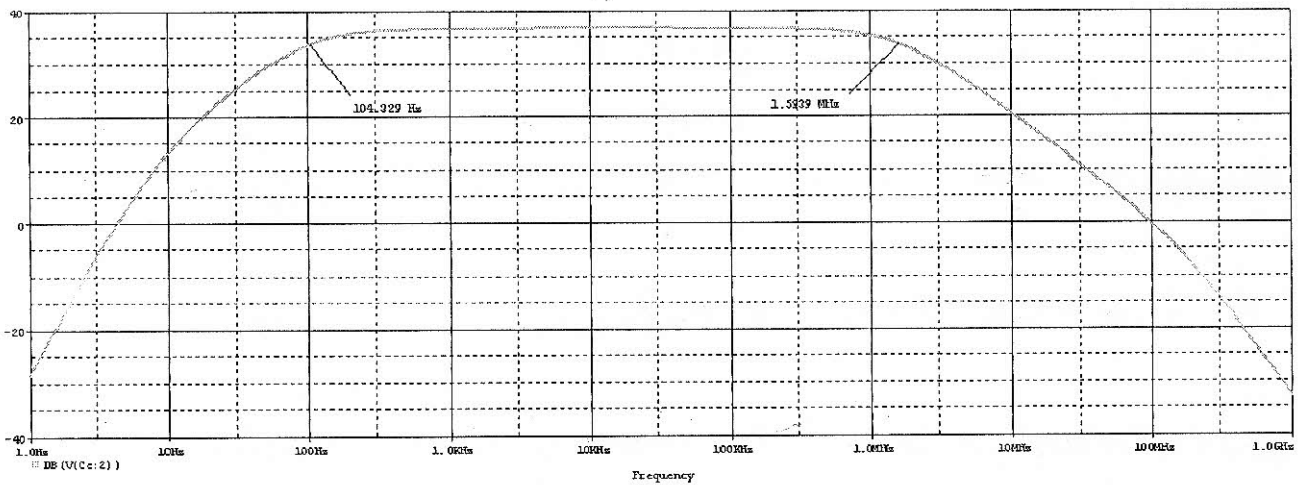
$$\frac{1}{C_{E2} \left( R_{E2} // \left( R_{E1} + \frac{V_T + R_D // R_E // R_s}{\beta + 1} \right) \right)} = 2\pi \cdot 100 \quad \therefore C_{E2} = 4,1 \mu\text{F}$$

$$\frac{1}{C_{C2} (R_s + R_D // R_E // (V_T + (\beta + 1) R_{E1}))} = 2\pi \cdot 10 \quad \therefore C_{C2} = 2,8 \mu\text{F}$$

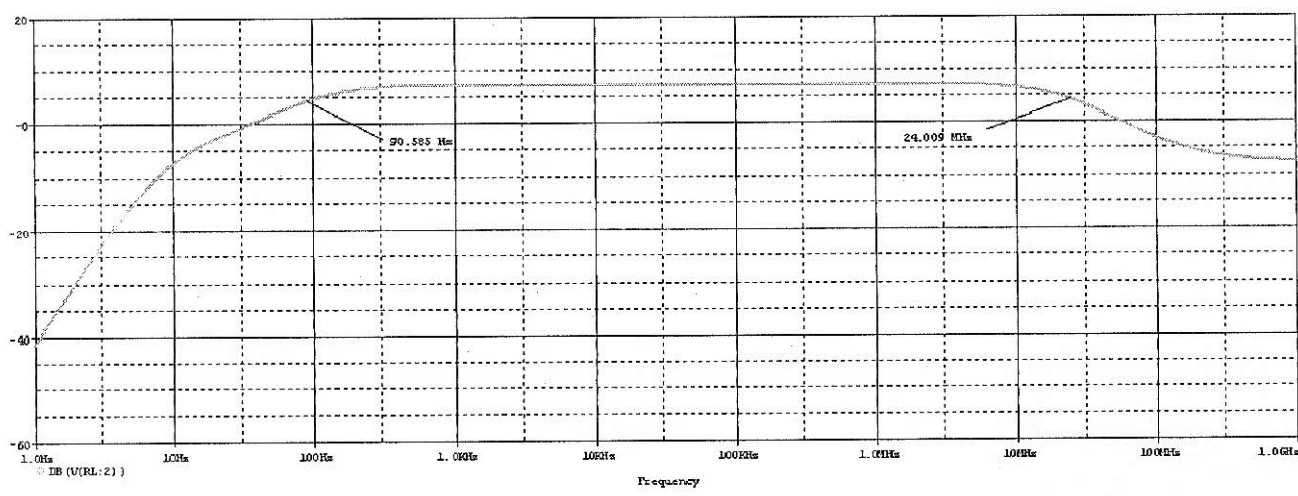
$$\frac{1}{C_{C2} (R_C + R_L)} = 2\pi \cdot 10 \quad \therefore C_{C2} = 1,4 \mu\text{F}$$

OBS.: Note que esses capacitores são menores que aqueles calculados para o emissor comum normal.

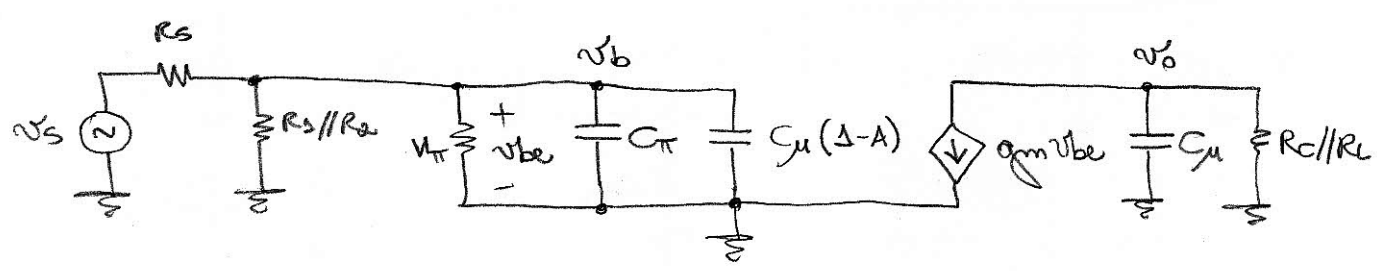
Simulando o amplificador em emissor comum simples obtemos o gráfico abaixo com o limite inferior da banda passante em 101,3 Hz. (4)



Para o amplificador degenerado, o limite inferior da banda passante ficou em 90,5 Hz.



(c) Estimativa do limite superior da banda passante do emissor comum a partir das constantes de tempo de circuito aberto:



onde o ganho  $A = \frac{v_o}{v_b} = -g_m R_c // R_L = -99,7 \text{ V/V}$ .

Constantes de circuito aberto:

$$C_{\pi} + C_{\mu} (1-A) \longrightarrow (C_{\pi} + C_{\mu} (1-A)) \cdot R_S // R_B // R_E // V_{\pi}$$

$$C_{\mu} \longrightarrow C_{\mu} \cdot R_C // R_L$$

Estimativa da frequência de corte superior:

$$\frac{1}{\omega_H} \cong (C_{\pi} + C_{\mu} (1-A)) \cdot R_S // R_B // R_E // V_{\pi} + C_{\mu} \cdot R_C // R_L$$

A partir das informações dadas pelo cálculo do ponto de operação DC pelo simulador, temos:

$$C_{\pi} = 89,6 \text{ pF} \quad \text{e} \quad C_{\mu} = 1,19 \text{ pF}$$

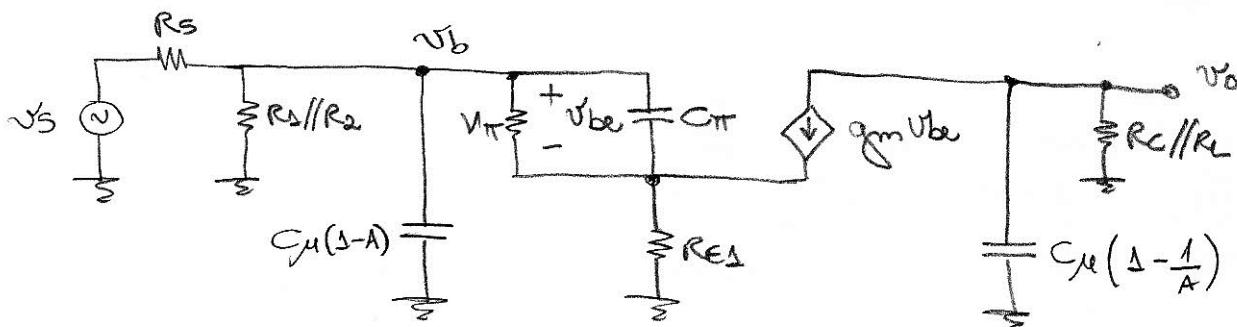
Assim:

$$\frac{1}{\omega_H} \cong 17,27 \cdot 10^{-8} \quad \therefore \quad \omega_H = 1,375 \cdot 10^7 \text{ rad/s}$$

$$f_H = \frac{\omega_H}{2\pi} = 2,19 \text{ MHz}$$

Na simulação, foi obtido  $f_H = 1,57 \text{ MHz}$  (erro de 28% em relação à estimativa aproximada).

No caso do amplificador com degeneração de emissor, temos que:

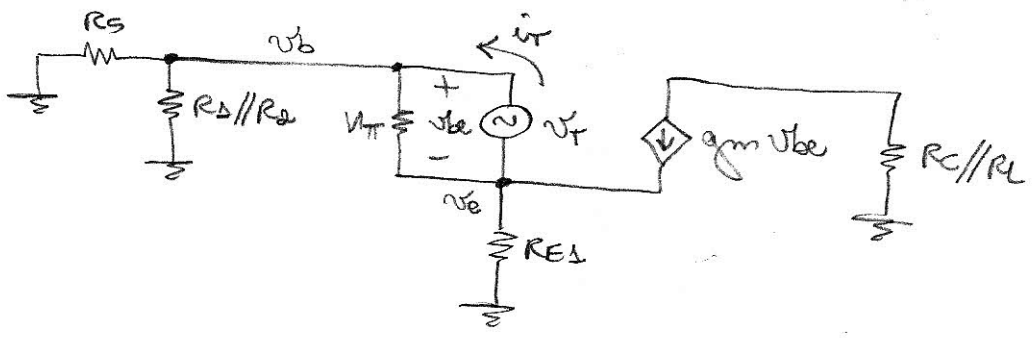


$$\text{onde } A = \frac{v_o}{v_b} = - \frac{\beta R_C // R_L}{V_{\pi} + R_E (\beta + 1)} = - 2,56 \text{ V/V}$$

$$C_M(\beta+1) \longrightarrow C_M(\beta+1) \cdot R_S // R_D // R_E // (V_{\pi} + R_{E1}(\beta+1))$$

$$C_M(\beta + \frac{1}{A}) \longrightarrow C_M(\beta + \frac{1}{A}) \cdot R_C // R_L$$

Para obter a constante de tempo referente a  $C_{\pi}$ , fazemos:



$$\frac{v_b}{R_S // R_D // R_E} + \frac{v_{be}}{V_{\pi}} - i_{\pi} = 0$$

$$-\frac{v_{be}}{V_{\pi}} + i_{\pi} - g_m v_{be} + \frac{v_e}{R_{E1}} = 0$$

$$v_b = R_S // R_D // R_E \left( i_{\pi} - \frac{v_{be}}{V_{\pi}} \right)$$

$$v_e = R_{E1} \left( (g_m + \frac{1}{V_{\pi}}) v_{be} - i_{\pi} \right)$$

Então:

$$v_{be} = v_b - v_e = R_S // R_D // R_E \left( i_{\pi} - \frac{v_{be}}{V_{\pi}} \right) - R_{E1} \left( \frac{\beta+1}{V_{\pi}} v_{be} - i_{\pi} \right)$$

$$v_{be} \left( 1 + \frac{R_S // R_D // R_E}{V_{\pi}} + \frac{R_{E1}(\beta+1)}{V_{\pi}} \right) = i_{\pi} \left( R_S // R_D // R_E + R_{E1} \right)$$

$$\frac{v_{\pi}}{i_{\pi}} = \frac{V_{\pi} (R_S // R_D // R_E + R_{E1})}{R_S // R_D // R_E + V_{\pi} + R_{E1}(\beta+1)}$$

Assim:

$$C_{\pi} \longrightarrow C_{\pi} \cdot \frac{V_{\pi} (R_S // R_D // R_E + R_{E1})}{R_S // R_D // R_E + V_{\pi} + R_{E1}(\beta+1)}$$

Portanto, uma estimativa do limite superior da banda passante seria:

$$\frac{1}{\omega_H} \approx C_{\mu} (1-A) \cdot R_S // R_D // R_2 // (V_{\pi} + R_{E3}(\beta+1)) +$$

$$+ C_{\mu} \left(1 - \frac{1}{A}\right) \cdot R_C // R_L + C_{\pi} \cdot \frac{V_{\pi} (R_S // R_D // R_2 + R_{E3})}{V_{\pi} + R_S // R_D // R_2 + R_{E3}(\beta+1)}$$

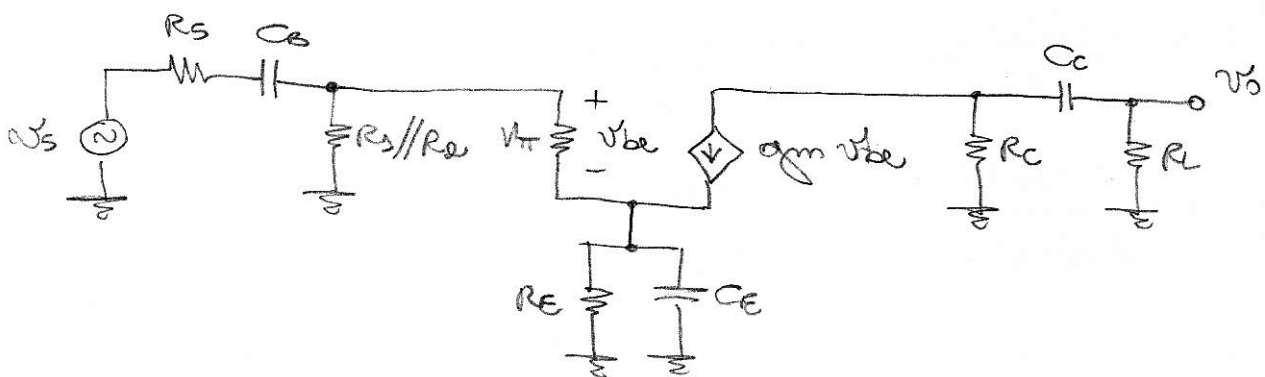
$$\frac{1}{\omega_H} \approx 5,297 \cdot 10^{-9} \quad \therefore \quad \omega_H = 1,88 \cdot 10^8 \text{ rad/s}$$

$$f_H = \frac{\omega_H}{2\pi} = 30,05 \text{ MHz}$$

Na simulação, foi obtido  $f_H = 24 \text{ MHz}$  (erro de 20% em relação à previsão teórica).

Note que o amplificador degenerado apresentou uma banda passante maior. Isso acontece porque o ganho de tensão menor nesse último amplificador reduziu o efeito multiplicativo de Miller sobre  $C_{\mu}$ .

(d) Para a resposta de baixas frequências do amplificador em emissor comum, temos:



A contribuição de cada capacitor para os zeros (valor de  $\omega$  para fazer  $v_o = 0$ ):

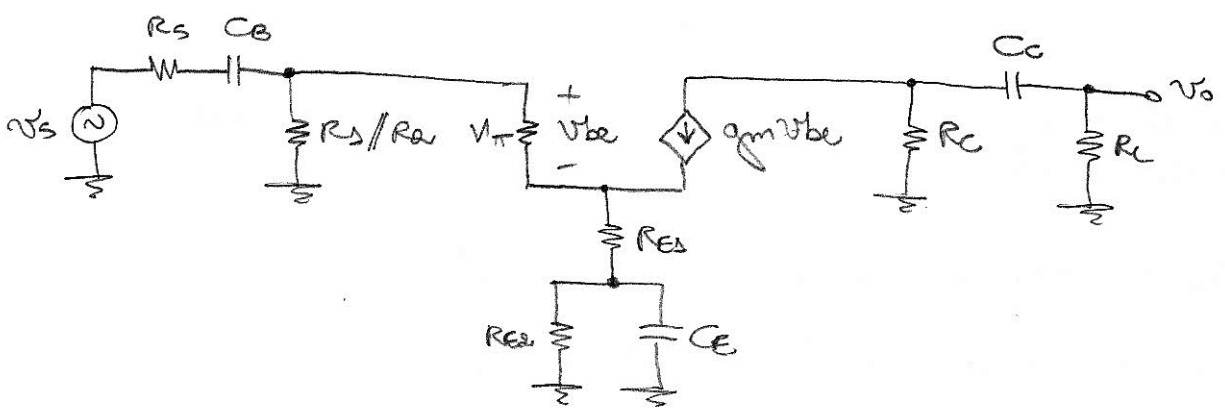
$C_b \rightarrow$  zero em  $\omega = 0$ .

$C_c \rightarrow$  zero em  $\omega = 0$ .

$$C_E \rightarrow R_E // \frac{1}{j\omega C_E} \rightarrow \infty$$

$$\frac{1}{R_E} + j\omega C_E = 0 \quad \therefore \omega = -\frac{1}{R_E C_E}$$

No caso da resposta em baixas frequências do amplificador com degeneração de emissor:



A contribuição de cada capacitor para os zeros:

$$C_B \rightarrow \text{Zero em } \omega = 0$$

$$C_C \rightarrow \text{Zero em } \omega = 0$$

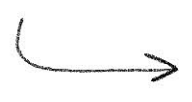
$$C_E \rightarrow \text{Zero para } (R_{E1} + R_{EE} // \frac{1}{j\omega C_E}) \rightarrow \infty$$

$$\frac{1}{R_{EE}} + j\omega C_E = 0$$

$$\omega = -\frac{1}{R_{EE} C_E}$$

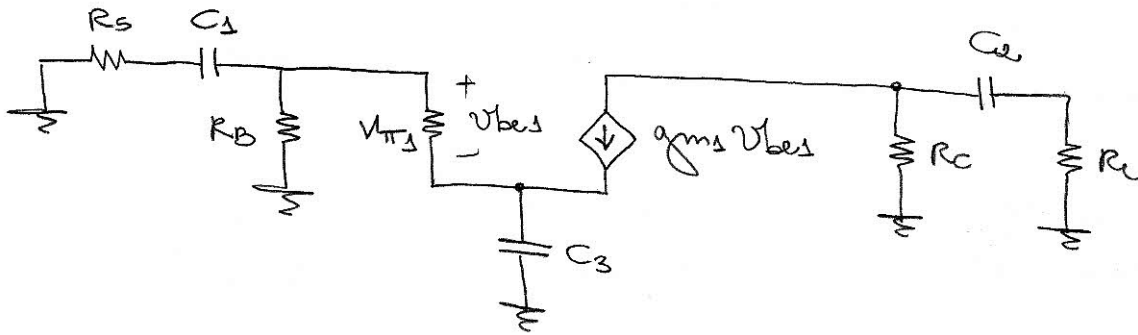
4) (a) Primeiramente, calculam-se as correntes de polarização de Q<sub>1</sub> e Q<sub>2</sub>, juntamente com os seus parâmetros de JFET. Sinais:

$$I_{C1} \approx 1 \text{ mA}$$



$$\begin{cases} g_{m1} = \frac{I_{C1}}{V_T} = 40 \text{ mA/V} \\ r_{\pi 1} = \frac{\beta}{g_{m1}} = 2,5 \text{ k}\Omega \end{cases}$$

O circuito de freq. sinais para a resposta de baixas frequências é:



As constantes de tempo de curto-circuito para cada capacitor são:

$$C_1 \longrightarrow \text{Req}_1 C_1 = (R_s + R_B // V_{t/\Delta}) C_1$$

$$C_2 \longrightarrow \text{Req}_2 C_2 = (R_C + R_L) C_2$$

$$C_3 \longrightarrow \text{Req}_3 C_3 = \left( \frac{V_{t/\Delta} + R_B // R_s}{\beta + 1} \right) C_3$$

Como  $\text{Req}_3$  é a menor resistência, escolhemos  $\frac{1}{\text{Req}_3 C_3}$  para ser o termo dominante na estimativa do limite inferior  $\omega_L = 2\pi f_L$ .

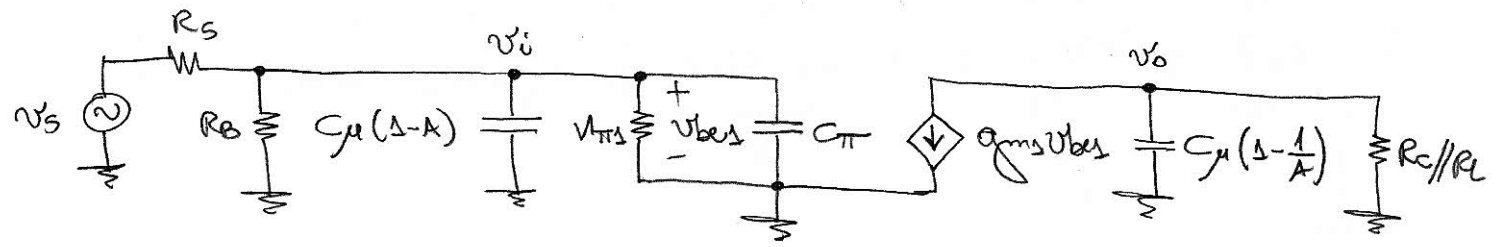
$$\text{Assim: } 2\pi f_L \approx \frac{1}{\text{Req}_3 C_3} \quad \therefore \quad C_3 = \frac{1}{2\pi f_L \cdot \text{Req}_3} = 48 \mu\text{F}$$

Para que os demais termos sejam considerados desprezíveis, fazemos:

$$\frac{1}{\text{Req}_1 C_1} = 2\pi 0,1 f_L \quad \therefore \quad C_1 = \frac{1}{2\pi 0,1 f_L \cdot \text{Req}_1} = 5,97 \mu\text{F}$$

$$\frac{1}{\text{Req}_2 C_2} = 2\pi 0,1 f_L \quad \therefore \quad C_2 = \frac{1}{2\pi 0,1 f_L \cdot \text{Req}_2} = 1,02 \mu\text{F}$$

(b) O limite superior da banda de passagem do amplificador original pode ser estimado pelas constantes de tempo de circuito aberto:



Usando o Efeito Miller:

$$v_o = -g_m v_{be} R_C // R_L = -g_m v_i R_C // R_L$$

$$A = \frac{v_o}{v_i} = -g_m \cdot R_C // R_L = -92,3 \text{ V/V}$$

Assim, teremos que:

$$\frac{1}{\omega_H} \approx R_{eq\pi} (C_{\pi} + C_{\mu} (\Delta - A)) + R_{eq\mu} C_{\mu} (\Delta - \frac{1}{A})$$

Como  $|A| \gg \Delta$ , então:

$$\omega_H \approx \frac{1}{R_{eq\pi} (C_{\pi} + C_{\mu} (\Delta - A)) + R_{eq\mu} C_{\mu}}$$

As resistências equivalentes de circuito aberto são dadas por:

$$R_{eq\pi} = R_s // R_B // V_{T\Delta}$$

$$R_{eq\mu} = R_C // R_L$$

Então:

$$\omega_H \approx 6,56 \cdot 10^6 \text{ rad/s}$$

$$f_H = \frac{1}{2\pi} \omega_H \approx 1,04 \text{ MHz}$$

Assim, o limite superior ficará sendo:

$$\omega_H \approx \frac{1}{R_{\pi} C_{\pi} + R_{u} C_{u} + R_{eq\pi} (C_{\pi} + C_{u} (1-A)) + R_{equ} C_{u}}$$

$$\omega_H \approx 83,6 \cdot 10^6 \text{ rad/s}$$

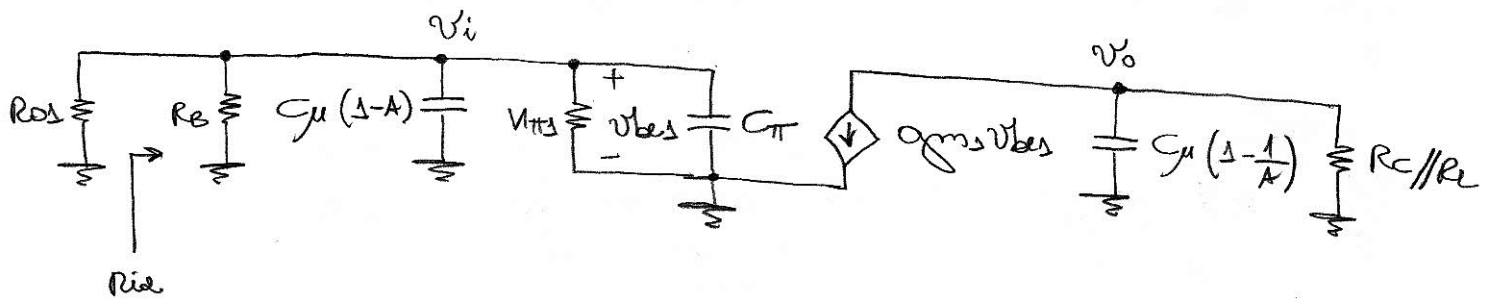
$$f_H = \frac{1}{2\pi} \omega_H \approx 13,3 \text{ MHz}$$

Nota-se que a inclusão do estágio em coletor comum aumentou significativamente a banda passante do amplificador. O limite superior, em ambos os circuitos, é dominado pela constante de tempo:

$$[C_{\pi} + C_{u}(1-A)] R_{eq\pi}$$

em virtude do Efeito Miller. Com a inclusão do estágio em coletor comum, com a sua baixíssima impedância de saída  $R_{os} = \frac{V_{ce} + R_s}{\beta + 1}$ , temos que a resistência  $R_{eq\pi}$  é sensivelmente reduzida, elevando o valor de  $\omega_H$  e  $f_H$  em comparação com o amplificador original.

No caso de amplificadores em cascata, para o 2º estágio, temos:



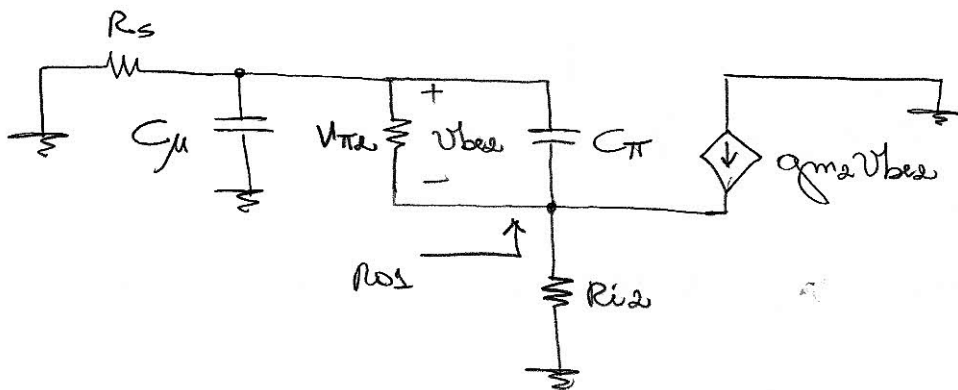
Nesse caso, também temos  $A = \frac{v_o}{v_i} = -g_{m2} R_C || R_L$ .

As constantes de tempo de circuito aberto são:

$$R_{eq1} (C_{\pi} + C_{\mu}(\Delta - A)) = R_{os} || R_B || V_{T2} (C_{\pi} + C_{\mu}(\Delta + g_{m2} R_C || R_L))$$

$$R_{eq2} C_{\mu} (\Delta - \frac{1}{A}) \approx R_C || R_L C_{\mu}$$

No caso do 1º estágio, temos:



Como a polarização de Qe define  $I_{C2} \approx 1 \text{ mA}$ , então:

$$g_{m2} = \frac{I_{C2}}{V_T} = 40 \text{ mA/V} \quad \text{e} \quad V_{T2} = \frac{\beta}{g_{m2}} = 2,5 \text{ k}\Omega$$

A impedância de saída  $R_{os}$  de circuito aberto ( $C_{\pi}$  e  $C_{\mu}$  abertos) é:

$$R_{os} = \frac{V_{T2} + R_s}{\beta + 1}$$

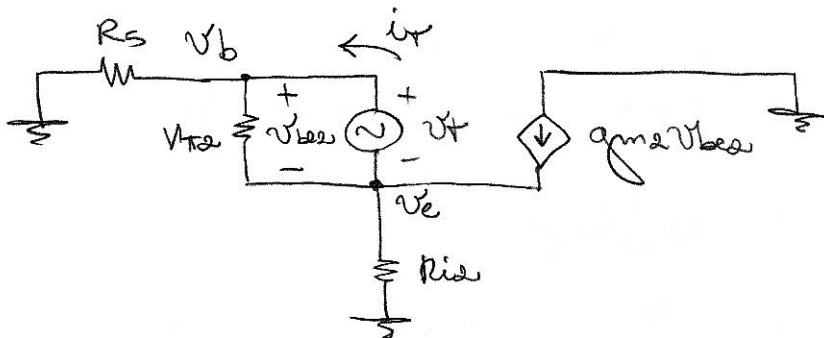
Já a impedância de entrada do 2º estágio é:

$$R_{ie} = R_B // V_{T2}$$

A constante de tempo de circuito aberto associada à  $C_{\mu}$  é dada por:

$$R_{eqs} C_{\mu} = R_S // (V_{T2} + R_{ie}(\beta + 1)) \cdot C_{\mu}$$

Já a resistência  $R_{eqs}$  da constante de circuito aberto  $R_{eqs} C_{\pi}$  é obtida da seguinte forma:



$$\frac{V_b}{R_s} + \frac{V_{be}}{V_{T2}} - i_r = 0 \quad \rightarrow \quad V_b = R_s \left( i_r - \frac{V_T}{V_{T2}} \right)$$

$$\frac{V_e}{R_{ie}} - \frac{V_{be}}{V_{T2}} + i_r - g_m V_{be} = 0 \quad \rightarrow \quad V_e = R_{ie} \left[ -i_r + \frac{V_T}{V_{T2}} + g_m V_T \right]$$

Assim:

$$V_T = V_b - V_e = R_s \left[ i_r - \frac{V_T}{V_{T2}} \right] - R_{ie} \left[ -i_r + \frac{V_T}{V_{T2}} + g_m V_T \right]$$

$$V_T \left[ 1 + \frac{R_s}{V_{T2}} + \frac{R_{ie}}{V_{T2}} + g_m R_{ie} \right] = i_r (R_s + R_{ie})$$

$$R_{eqs} = \frac{V_T}{i_r} = \frac{V_{T2} (R_s + R_{ie})}{V_{T2} + R_s + R_{ie}(\beta + 1)}$$